

北海道大学工学部 正員 岸 力
北海道大学工学部 正員 ○加藤 正進

1 概説

分離取水に関しては Harleman 等のように上層下層とも密度がそれぞれ一定であり境界面において密度が不連続に変化する場合、Yih 等のように密度が水面から水底まで直線的に変化する場合について、いろいろな取水タイプに関する研究がある。しかし実際の場合、垂直方向の密度変化の状態はこの両者の中間の状態にあり、このような場合における研究はあまりないようである。本研究では重直な円管による下層取水について、中间層の存在が限界取水量におよぼす効果と、取水管の底面からの突出高さによる限界取水量の変化について調べた。

2 実験装置および実験方法

実験は図-1 に示されるような、長さ 2m 中 1m 高さ 1m の水槽を用いて行なわれた。実験に用いた取水管の管径は 3cm² あり、真空ポンプにより取水された塩水はベンチエリーフ計により流量も測定され後水槽へ戻される。端部濃度は実験に先立ち直角方向に 1 cm の間隔で電気伝導度計により測定され濃度に換算された。上層あるいは中间層の流入限界は Harleman 等の実験に習い次つのように決定された。

流入が許容される限界の密度と有する面にナトリウム・山塩化炭素の混合液に少量のアスコルビン酸を混ぜて作られた油滴とのせ、この油滴が取水管に吸い込まれる時モノノ限界とした。

取水管の突出部より水槽内に置かれた平板を上下させることにより変化させた。なお水深方向の温度差による密度の変化は特に考慮に入らなかつた。

3 中間層が無視できる場合

中间層の厚さが上層下層に比べて十分薄く密度も高い場合には、中间層を無視し密度は境界面において不連続であると考えてもよいであろう。このような場合には取水の限界条件として次の式が成立する。

$$Q_c = \frac{\pi}{4} D^2 V_c = 2.51 K \sqrt{\varepsilon g} y_0^{5/2} \quad \text{ここで} \quad (1)$$

$$\frac{V_c}{\sqrt{\varepsilon g y_0}} = 3.20 K (y_0/D)^{1/2} \quad \varepsilon = \frac{\rho_2 - \rho_1}{\rho_2} \quad (2)$$

このような限界条件を確かめるため、次つ実験を行なつた。実験におけるのは中间層の厚さは下層水深の 1/2 倍程度であり垂直空隙度 $E = \frac{1}{2} d y_0$ は 10^2 (cm) であった。境界面の定義は上層と下層の平均密度を有する面をもつとした。実験結果は Harleman 等の結果とあわせて図

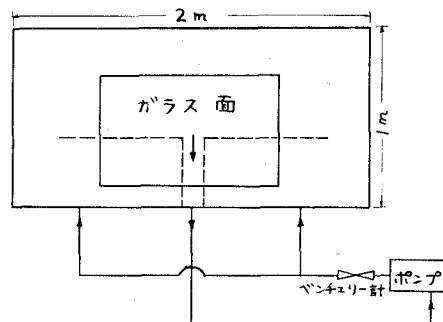


図-1

-2に示す。図-2によると(2)式から求めた限界条件はかなりよく成立し、次式となる。

$$\frac{V_c}{\sqrt{g} y_0} = 2.4 \left(\frac{y_0}{D}\right)^2 \quad (3)$$

(2)式と比較すればKの値はK=0.79なる常数であることがわかる。(3)式を限界取水量に書き換えると、本実験およびHarleman等の実験に対して次の式を得る。

$$Q_c = 1.88 \sqrt{g} y_0^{5/2} \quad (4)$$

$$Q_c = 1.61 \sqrt{g} y_0^{5/2} \quad (\text{Harleman等}) \quad (5)$$

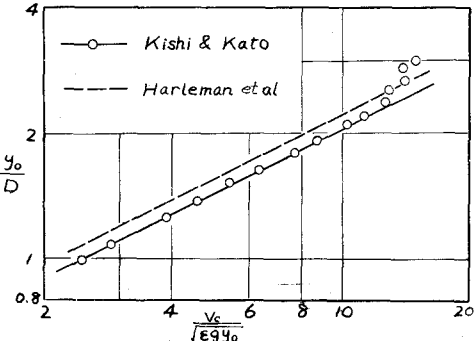


図-2

本実験およびHarleman等の実験結果によると、下層が薄い場合には、限界取水量は(1)式の条件にあてはまり取水管の管径には無関係に、下層の水深および上層下層の密度によって決定されることになる。又、Harleman等は取水管の形状を変えて実験を行なってみたが、口径の形状による限界取水量の変化は明らかでないようである。

4 取水管の底面からの突出による結果

直通取水管により取水する場合、上砂の流入防止などのため取水口を底面からある高さの位置に置かなければならぬ。下層内に円管を突出させて取水方式についてはHarleman等が実験を行ない、取水管の突出により(2)式の係数が変化することを報告している。この取水管の突出によると(1)式に(2)式のよう考慮を行なう。図-3に示すようなモデルを考え、取水口の十分遠方の真と取水口の上方の同じレベルの式を立てると次式が得られる。

$$\frac{V_a^2}{2g} = \varepsilon (y_0 - y_a) \quad (6)$$

今図-3に示すようなドームを考えドームの表面を通過する流体の平均流速 V を $V = Q / 2\pi r y_a + 2\pi r y_b$ とし、これが a 点での流速 V_a の $1/2$ 倍であるとあれば次式が得られる。

$$Q^2 = 8\pi^2 K^2 \varepsilon g y_a^2 (y_a + b)^2 (y_0 - y_a) \quad (7)$$

(7)式を y_a で微分し $dQ/dy_a = 0$ と置けば(2)式となる。

$$y_{ac} = \frac{1}{10} \{ (y_0 - 3b) + \sqrt{(y_0 - 3b)^2 + 40b y_a} \} \quad (8)$$

(8)式(7)式より限界取水量 Q_c は次式で表わされる。

$$Q_c = 8.89 K \sqrt{g} \alpha (\alpha + \beta) (1 - \alpha - \beta)^{1/2} H^{5/2} \quad (9)$$

$$\alpha = \frac{y_{ac}}{H}, \beta = \frac{b}{H}$$

(9)式において $\beta = 0$ すなむち突出がない場合は(1)式と一致し、突出がない場合の限界取水量 Q_{cb} と突出がある場合の限界取水量 Q_{ca} との関係は次式となる。

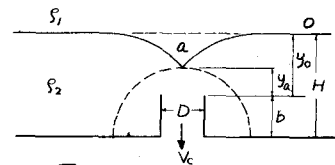


図-3

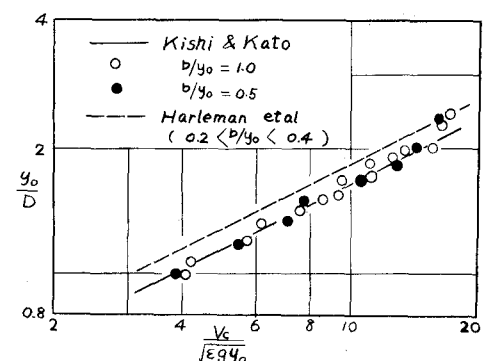


図-4

$$\frac{Q_{cb}}{Q_{co}} = 3.5 \alpha (\alpha + \beta) (1 - \alpha - \beta)^{1/2} \quad (10)$$

図-41= $D/g_0 = 0.5$ 及び 1.0 にて同じく行なわれた実験結果を示す。実験結果によると両者の差別は明らかではなく、次式で実験式であらわされる。

$$\frac{V_c}{\sqrt{g g_0}} = 3.8 \left(\frac{g_0}{D} \right)^2 \quad D/g_0 = 0.5, 1.0 \quad (11)$$

$$Q_{cb} = 2.98 \sqrt{g} (1 - \beta/H)^{5/2} H^{5/2} \quad \beta/H = 0.33, 0.5 \quad (12)$$

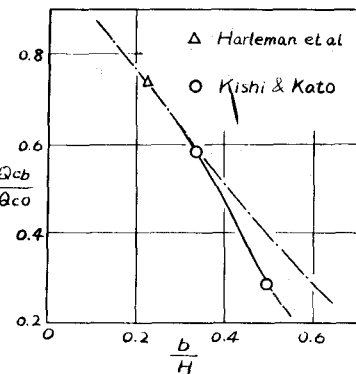


図-51= (10)式と実験結果とを比較して下る。F. Hartman 等の実験組は浅い時は実験範囲の半分の b/H の値と (11)式に似た。 b/H が小さくなる曲線 (10)式が示すやうな値と実験値とはよく一致しているが、 b/H が大きくなると (10)式と (11)式と異なる傾向からはずれるため理論値は大きな差を示してゐる。

5 中間層が無視できない場合

今よりは境界層の密度が不連続であると考えて来たが、ここでは中間層がかなり厚く、中間層内の密度が連続的に変化しい場合を考える。図-6に示すようなモデルを考え假定：(1) 密度を有する下層E/Fを取水するものとする。(2) に中間層と e_3, e_4 の密度を有する層に近似すると e_3, e_4 の値としては、 $e_3 = e_2 + 3e_1/4$, $e_4 = e_1 + 3e_2/4$ と考えてよいであろう。前と同様に(1)式、(2)式を用いて1式を立てると次式が得られる。

$$Q_c = \frac{\pi}{4} D^2 V_c = 2.51 K \sqrt{g g_0} y_0^{5/2} \quad (13)$$

$$\frac{V_c}{\sqrt{g g_0}} = 3.20 K (y_0/D)^2 \quad (14)$$

$$z = 2'' \quad \varepsilon' = \frac{e_2 - e_1}{e_2}$$

おなむち このまわりにとて用いることにより近似的に前と同様に考えることが出来るわけである。

このような近似理論を調べるために中間層がかなり厚く無視できない場合の実験を行なつた。実験における垂直安定度は $3 \times 10^{-3} < E(\text{cm}) < 6 \times 10^{-3}$ であり、中間層の厚さは下層水深の5割程度である。この場合どの層とも上層と中間層とを分離あるかが問題であるが、本実験では下層との密度差が上層と下層の密度差の約20%であるのでそれほど直線の延長線と下層の密度一定の線の延長線との交点と下端との間に差がある。実験結果と整理して図-7に示す。図-8は(14)式に従ひて整理しなおしたものである。図-8では y_0/D

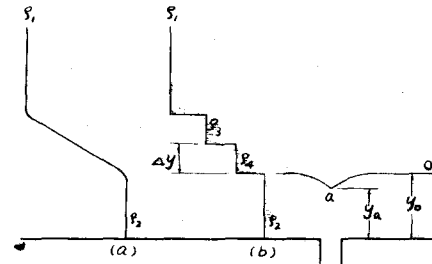


図-6

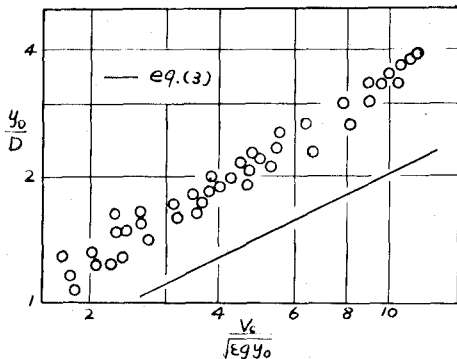


図-7

実験値は(3)式と大体一致する。しかしながら、この計算の際は下層の密度と下層に近い層の平均密度を用いることにより(3)式で示される限界条件を利用してもよいことになる。しかしフルード数が大きくなると実験値は(3)式からはずれ、実験値全体から離れる。

$V_c/\sqrt{gy_0} \propto (y_0/D)^{3/2}$ の関係があるようにも思われる。この関係が成り立つと、限界取水率は取水層の管径にも影響されることになり、この点に関しては今後調べなければならないであろう。

次に下層だけを取水するのではなく、中間層の中間まで取水あるような場合を考える。

図-6に示すモデルを用いると、前に述べたように、下層だけを厳密に取水ある場合には、限界取水率は次式で表わしができる。

$$Q_c = \alpha \sqrt{\frac{P_2 - P_4 g}{P_2}} y_0^{5/2} \quad \alpha \approx 1.88 \quad (15)$$

次に $y_0 + \Delta y$ の間で取水あるものとすれば、 P_4 の密度を有する層はまだ下層に混合してしまい底面から $y_0 + \Delta y$ までの間に近似的に P_2 の密度と同じでないと考えてもよさそう。このように考えると限界取水率は次式で表わされる。

$$Q_{cm} = \alpha \sqrt{\frac{P_2 - P_4 g}{P_2}} (y_0 + \Delta y)^{5/2} \quad (16)$$

$$P_3, P_4 の値は前にも述べたように P_3 = \frac{P_2 + 3P_4}{4}$$

$P_4 = 3P_2 + P_1/4$ と考えることができますから、(15)式/(16)式の比は次式で表わされます。

$$\frac{Q_{cm}}{Q_c} = \sqrt{3} \left(1 + \Delta y/y_0 \right)^{5/2} \quad (17)$$

(17)式を確かめるため、中間層の中間まで取水ある実験を行った。垂直安定度は下層だけを厳密に取水ある場合とほぼ同じであった。図-4に、下層だけを厳密に取水ある場合と、中間層の中間まで取水ある場合の限界取水率の実験値の比を示す。この結果によると明らかに下層の水深が△yだけ増加した以上に限界取水率は増大しており (17)式で示される相似理論が示すように2倍ある以上にはならないといえる。この限界取水率の増加率は中間層の存在によるものである。以上のように、中間層を無視する場合無視しない場合にノリと考察して見たのであるが、どの程度の厚さあるいは垂直安定度で中間層を無視することができるかは考えなければならぬかは、今の所明らかではない。この点に関しては、今後調べるつもりである。

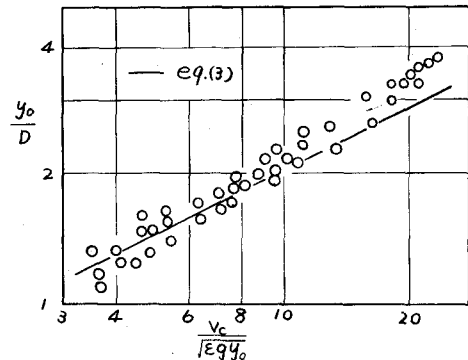


図-8

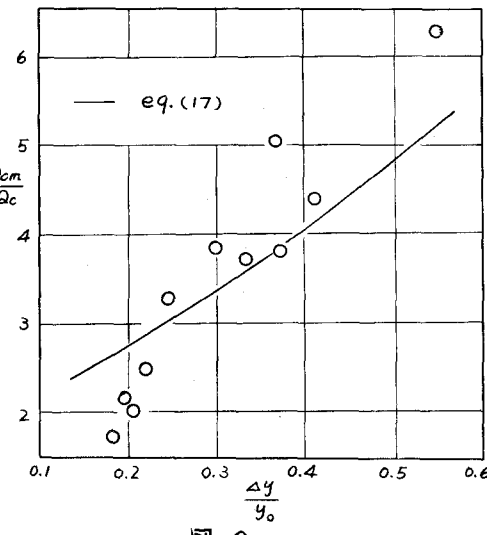


図-9